

РОССИЙСКАЯ АКАДЕМИЯ НАУК
СИБИРСКОЕ ОТДЕЛЕНИЕ

ЖУРНАЛ СТРУКТУРНОЙ ХИМИИ

Основан в 1960 г.

Выходит 6 раз в год

Т О М 52

Май – июнь

№ 3, 2011

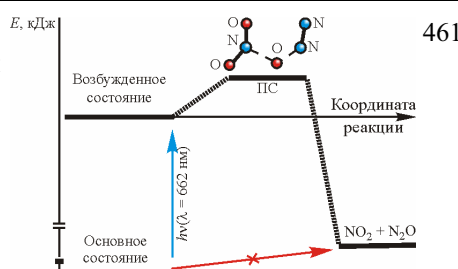
СОДЕРЖАНИЕ

ТЕОРИЯ СТРОЕНИЯ МОЛЕКУЛ И ХИМИЧЕСКОЙ СВЯЗИ

Захаров И.И.

Исследование структуры высокогенергетических состояний триоксида азота и димера (NO_2): DFT расчеты в рамках симметризованных формализма Конна–Шэма

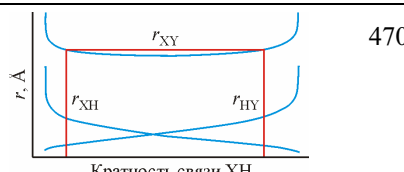
Ключевые слова: квантово-химические расчеты, метод функционала плотности (DFT), высокогенеретические состояния, NO_3 и $(\text{NO})_2$, молекулярная структура и реакционная способность, активация N_2 и N_2O



Тараканова Е.Г., Юхневич Г.В.

Взаимосвязь между длиной водородного мостика и положением в нем протона

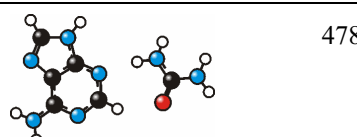
Ключевые слова: водородный мостик, длина Н-связи, положение протона, квантово-химический расчет



Qiu Z., Xia Yo., Wang H., Diao K.

**Hydrogen-bonding interaction of urea with DNA bases:
A density functional theory study**

Keywords: DFT, urea, hydrogen bond, interaction energy

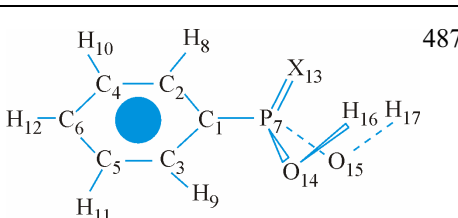


ИССЛЕДОВАНИЕ СТРОЕНИЯ МОЛЕКУЛ ФИЗИЧЕСКИМИ МЕТОДАМИ

Förner W., Badawi H.M.

**Study of vibrational spectra and their assignments
for phenylphosphonic and phenylthiophosphonic acid
and comparison to experiments**

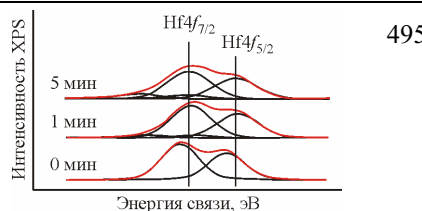
Keywords: DFT and MP2 calculations, normal coordinate analyses, vibrational spectra and assignments, phenylphosphonic acid, phenylthiophosphonic acid



Каичев В.В., Дубинин Ю.В., Смирнова Т.П., Лебедев М.С.

**Изучение структуры пленок $(\text{HfO}_2)_x(\text{Al}_2\text{O}_3)_{1-x}$ /Si
методом рентгеновской фотоэлектронной спектроскопии**

Ключевые слова: диоксид гафния, оксид алюминия, алюминат гафния, бинарный раствор, рентгеновская фотоэлектронная спектроскопия, послойный анализ



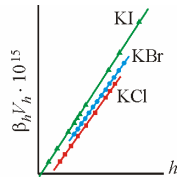
ИЗДАТЕЛЬСТВО СО РАН
НОВОСИБИРСК

СТРУКТУРА ЖИДКОСТЕЙ И РАСТВОРОВ

Афанасьев В.Н., Устинов А.Н.

Исследование гидратации галогенидных солей калия методом адиабатического сжатия

Ключевые слова: адиабатическая сжимаемость, числа гидратации, адиабатическая сжимаемость гидратных комплексов

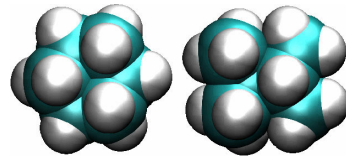


503

Аникеенко А.В., Медведев Н.Н.

О причине высокой плотности жидкого циклогексана

Ключевые слова: молекулярная динамика, структура простых жидкостей, молекулярные жидкости, жидкие алканы



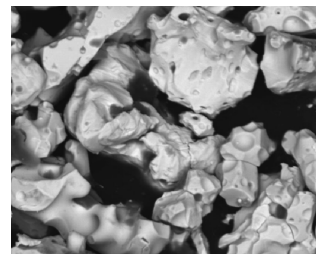
513

СУПРАМОЛЕКУЛЯРНЫЕ И НАНОРАЗМЕРНЫЕ СИСТЕМЫ

Громилов С.А., Шубин Ю.В., Филатов Е.Ю., Дьячкова Т.В., Тютюнник А.П., Зайнуллин Ю.Г.

Образование твердых растворов в системе Re—Rh при термобарической обработке наноразмерных металлических порошков

Ключевые слова: родий, рений, нанокристаллические порошки, камера высокого давления, рентгенофазовый анализ, твердофазная растворимость



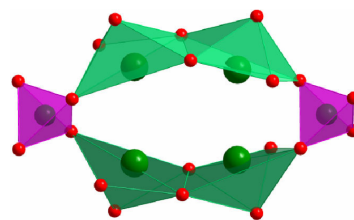
520

КРИСТАЛЛОХИМИЯ

Мельникова Т.И., Кузьмичева Г.М., Рыбаков В.Б., Болотина Н.Б., Дубовский А.Б., Куссон А.

Состав и строение твердых растворов в системе Bi_2O_3 — SiO_2 — V_2O_5 со структурой силленита

Ключевые слова: силленит, гидротермальный синтез, нейтронография, рентгенография, состав, дефекты, диссимметризация

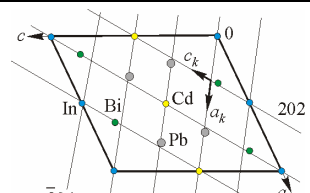


526

Борисов С.В., Магарилл С.А., Первухина Н.В.

Кристаллографический анализ строения ряда «таблетчатых» сульфидов с Bi, In, Pb

Ключевые слова: «таблетчатые» структуры, структурообразующие факторы, катионные и анионные матрицы, строительные блоки, структуры сульфидов и сульфосолей

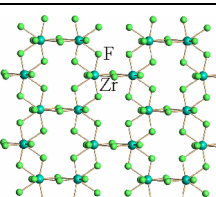


533

Герасименко А.В., Давидович Р.Л., Логвинова В.Б.

Кристаллические структуры слоистых пентафтороцирконатов метиламмония, глициния и β -аланиния

Ключевые слова: кристаллическая структура, фтороцирконат, сетчатый слой, метиламмоний, глициний, β -аланий

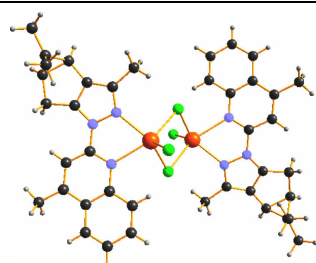


540

Ларионов С.В., Савельева З.А., Клевцова Р.Ф., Глинская Л.А., Усков Е.М., Рахманова М.И., Попов С.А., Ткачев А.В.

Кристаллическая структура сольватата $[\text{Cd}_2\text{L}_2\text{Cl}_4] \cdot \text{CH}_2\text{Cl}_2$ (L = пиразолилхинолин – производное монотерпеноида (+)-3-карена) и фотолюминесценция хирального комплекса CdLCl_2

Ключевые слова: комплекс, сольват, кадмий(II), структура, хиральность, фотолюминесценция



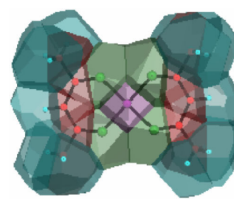
547

Сережкин В.Н., Сукачев Н.В., Сережкина Л.Б., Пушкин Д.В.

554

Особенности межмолекулярных взаимодействий в кристаллах ацетилацетонатов металлов

Ключевые слова: энталпия сублимации, структура кристаллов, полиэдры Вороного—Дирихле, невалентные взаимодействия, ацетилацетонаты, π-комплексы

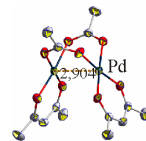


Храненко С.П., Шушарина Е.А., Громилов С.А., Коренев С.В.

560

Две кристаллические модификации $Pd_2(\mu\text{-ac})_2(\text{acac})_2$

Ключевые слова: палладий, биядерный комплекс, ацетилацетон, ацетат, кристаллохимия, рентгеноструктурный анализ

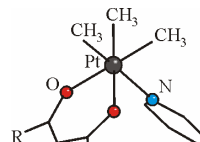


Жаркова Г.И., Байдина И.А., Наумов Д.Ю., Игуменов И.К.

566

Кристаллическая структура летучих β -дикетонатов триметилплатины(IV) с пиридином

Ключевые слова: β -дикетонаты триметилплатины(IV), структура, синтез, летучесть, термические свойства

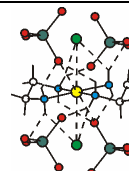


Макотченко Е.В., Байдина И.А.

572

Структурное исследование комплексов $[\text{Au}(\text{en})_2]\text{Cl}(\text{ReO}_4)_2$ и $[\text{Au}(\text{en})_2](\text{ReO}_4)_3$

Ключевые слова: золото, рений, этилендиамин, комплексы, рентгеноструктурный анализ

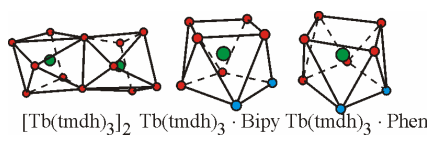


Стабников П.А., Жаркова Г.И., Смоленцев А.И., Первушина Н.В., Крисюк В.В.

577

Строение и свойства дипивалоилметаната тербия(III) и его аддуктов с Bipy и Phen

Ключевые слова: лантаниды, тербий, дипивалоилметанаты, гетеролигандные комплексы, кристаллическая структура, летучесть

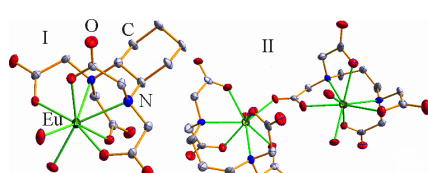


Wang J., Hu P., Liu B., Xu R., Wang X., Wang D., Zhang L.Q., Zhang X.D.

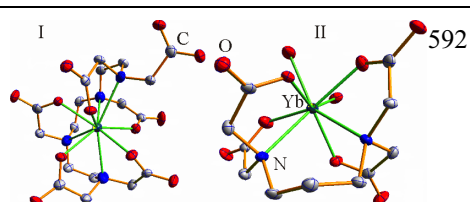
585

Structural determination of new eight-coordinate $\text{NH}_4[\text{Eu}^{\text{III}}(\text{CYDTA})(\text{H}_2\text{O})_2] \cdot 4\text{H}_2\text{O}$ and $\text{K}_2[\text{Eu}_2^{\text{III}}(\text{PDTA})_2(\text{H}_2\text{O})_2] \cdot 6\text{H}_2\text{O}$ complexes

Keywords: Eu^{III}, cydta, pdta, complex, synthesis, structure



Wang J., Hu P., Han G., Zhang L., Li D., Xu R., Chen X., Zhang X.D.



New nine-coordinate $(\text{NH}_4)_3[\text{Yb}^{\text{III}}(\text{TTHA})] \cdot 5\text{H}_2\text{O}$ and eight-coordinate $(\text{NH}_4)_2[\text{Yb}^{\text{III}}(\text{PDTA})(\text{H}_2\text{O})_2] \cdot 5\text{H}_2\text{O}$ complexes: structural determination

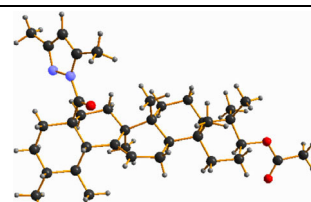
Keywords: ytterbium(III), ttha, pdta, complex, synthesis, structure

Попов С.А., Глинская Л.А., Кокина Т.Е., Клевцова Р.Ф., Шпатов А.В.

599

Кристаллическая и молекулярная структура 3,5-диметил-1Н-пиразолида 3-O-ацетилурсоловой кислоты

Ключевые слова: пиразолиды, урсоловая кислота, кристаллическая структура

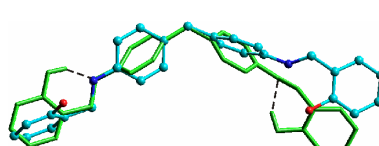


Ge C., Zhang X., Guo Ya., Zhang R., Bian H., Zhang Sh.

605

Structural and quantum chemical analysis on 4,4'-di(2-hydroxybenzylamino)diphenylmethane

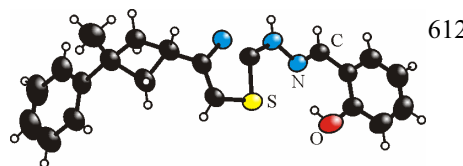
Keywords: 4,4'-di(2-hydroxybenzylamino)diphenylmethane, crystal structure, quantum chemistry, ONIOM method



Güntepe F., Saracoğlu H., Çalışkan N., Yüksektepe Ç., Çukurovalı A.

Structure and DFT calculations of 2-[{3-methyl-3-phenyl-cyclobutyl}-thiazol-2-yl]-hydrazonomethyl-phenol

Keywords: crystal structure, IR spectra , DFT calculations



612

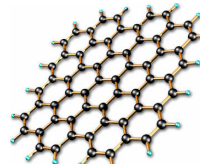
ОБЗОРЫ

Бацанов С.С.

618

Размерный эффект в строении и свойствах конденсированных веществ

Ключевые слова: нанофазы, структура, межатомные расстояния, модуль упругости, фазовые переходы, температура плавления



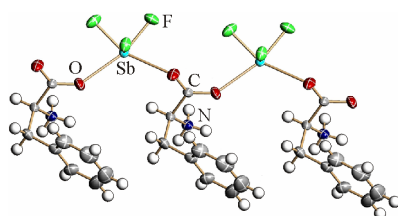
КРАТКИЕ СООБЩЕНИЯ

Удовенко А.А., Макаренко Н.В., Давидович Р.Л., Земнухова Л.А., Ковалева Е.В.

631

Кристаллическая структура молекулярного аддукта фторида сурьмы(III) с L-фенилаланином

Ключевые слова: рентгеноструктурный анализ, кристаллическая структура, фторид сурьмы(III), L-фенилаланин, молекулярный аддукт, ИК спектры поглощения

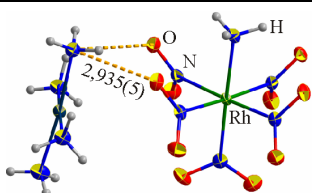


Шушарина Е.А., Рыбинская А.А., Плюснин П.Е., Шубин Ю.В., Коренев С.В., Громилов С.А.

636

Кристаллическая структура [Pd(NH₃)₄][Rh(NH₃)(NO₂)₅]

Ключевые слова: палладий, родий, двойная комплексная соль, рентгеноструктурный анализ, рентгенофазовый анализ, твердый раствор

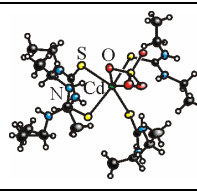


Altaf M., Stoeckli-Evans H., Murtaza Gh., Isab A.A., Ahmad S., Shaheen M.A.

640

Structural characterization of a cadmium(II)-sulfato complex, [Cd(*N,N'*-diethyl thiourea)₄(SO₄)]

Keywords: cadmium sulfate, *N,N'*-diethyl thiourea, crystal structure



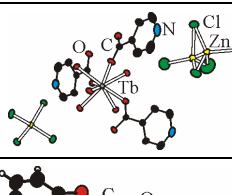
Chen W.-T., Ying Sh.-M., Xu Ya.-P., Luo Q.-Ya., Liu D.-Sh.

645

Structure and luminescence of

[Tb_{0.5}(C₆NO₂H₅)₃(H₂O)₂n·(H₃O)₄n(ZnCl₅)_n(ZnCl₄)₂n

Keywords: crystal structure, terbium, lanthanide, photoluminescence

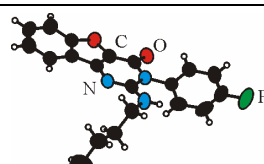


Hu Ya.-G., Chen X.-B., Gao H.-T., Ding M.-W.

649

Crystal structure of 2-butylamino-3-(4-fluorophenyl)benzofuro[3,2-d]pyrimidin-4(3H)-one

Keywords: crystal structure, benzo[4, 5]furo[3, 2-d]pyrimidin-4(3H)-one, aza-Wittig reaction

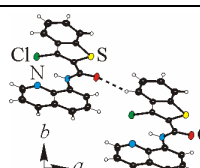


Abbasi A., Zamanian S., Tarighi S., Badiei A., Hantehzadeh M.R.

653

Structural studies of 3-chloro-N-(8'-quinolyl)benzo[b]thiophene-2-carboxamide

Keywords: benzothiophene, carboxamide, crystal structure, hydrogen bonding, CH—π interaction, π—π interaction



Содержание следующего номера — в конце журнала